



九 州 北 岸

磨 達 湾 及 び 付 近 の 流 況

昭 和 五 五 年 三 月

第 七 管 区 海 上 保 安 本 部

唐津湾及び付近の流況

第七管区海上保安本部

1. まえがき

唐津湾は、九州北岸にあつて湾口を北方に開き、湾口東端の仏崎と湾口西端の女瀬鼻（神集島の西方対岸）間の約7マイルを湾口とする南北約6マイル、東西約11マイルの比較的大きな湾である。

湾の南西すみには漁業基地として、また、近年工業港として発展途上の唐津港があつて、出入船舶の往来が活発となつている。

湾内の流れは、全般に弱く沖合・外海水の影響を受けて複雑に変化することが予想されていたが、観測資料の少ないこともあつて湾内水と外海水の両水系相互の流動関係については、詳細には掲されていなかつた。

近年、湾内では往来船舶のふくそうに加えて、湾奥の東浜では潮流による海岸線の浸食問題が起こるなど環境保全及び沿岸開発の面からも湾内流況のは掲が必要とされていた。

当本部では、このような需要に対応する資料として広く利用に供するため、沖合の一部（烏帽子島南部まで）を含めた潮流観測を実施した。

本報告書は、今回取得した資料を基に既存資料も含めて観測結果を取りまとめたものである。

この観測に従事した人員及び使用船舶等は、次のとおりである。

(1) 観測期間

昭和54年9月18日から10月5日まで(21日間)

(2) 使用船舶

海上保安庁水路部所属 測量船「明洋」 450 t

船長 高井政則 ほか乗組員24名

第七管区海上保安本部所属

測量船「はやとも」 27 t

船長 山本吾郎 ほか 2名

(3) 観測者

第七管区海上保安本部 水路部

益本利行 下平保直(前半参加) 於保正敏

門田和啓(後半参加) 及び測量船乗組員一同

2. 観測の概要

図1に示した32箇所の測点に小野式自記流速計及び長期巻自記流速計を順次海面下5メートル層に設置した。このうち湾内中央域の測点A及び湾外の測点Bの2箇所で長期連続

観測を、その他の 30箇所の測点では、昼夜連続観測（2.5 時間）を、それぞれ実施した。

そのほか、停泊した船上より電気流速計（CM-2）を懸垂して昼間だけ沿岸域で上・下層の潮流を実施した。

なお、長期観測点における 9月 27日から 9月 29日までは台風第 16号の接近による強い波浪のため流向の記録が不調となつたので、この期間の記録は長期観測資料としては除外したが、昼夜の反復観測資料として取り扱つた。

3. 資料の整理

流速計の観測記録から 20分ごとの平均流速とその中央時における流向を読み取り、北方及び東方の分速にベクトル分解して各分速の流速曲線を作成し、大陰時半 / 時間 2 分太陽時ごとの値を求め、次の計算処理を行つた。

(1) / 昼夜観測資料

$$\text{各分速ごとに, } V_t = V_0 + V_1 \cos(15^\circ t - \phi_1) + V_2 \cos(30^\circ t - \phi_2) + V_4 \cos(60^\circ t - \phi_4)$$

で表されるものとして調和分解を行い、恒流 (V_0)、1/日周潮流群 ($V_1 \cos(15^\circ t - \phi_1)$)、1/2 日周潮流群 ($V_2 \cos(30^\circ t - \phi_2)$)、1/4 日周潮流群 ($V_4 \cos(60^\circ t - \phi_4)$) の各分潮流群に分離した。

これらは周期約24.8時間、12.4時間、6.2時間で変化する潮流の北方と東方の成分を表わす。

ここで、 v_0 は非周期的な流れで、 $v_{1.2.4}$ は月の子午線上経過時を基準としたそれぞれの周期の流れの最高値を、 $\phi_{1.2.4}$ はそれぞれの周期の流れの最強となる時刻を角度で表したもので、1日周潮流 (M_1 の記号) は月の赤緯の大小によつて変化し、赤緯の大きい時には、ほぼ最大となり、小さい時には最小となる。 $1/2$ 日周潮流 (M_2 の記号) は月齢に左右され朔望のころ最大となり、両弦のころ最小となる。また、 $1/4$ 日周潮流 (M_4 の記号) は満海潮流と呼ばれ他の潮流に比べて弱い流れである。

このようにして得られた各分速の調和定数より両成分を合成し、各分潮流の最大流速 (ノット) とその方向及び月の子午線上経過時から最大流速時までの遅角を求めて、観測成果を表2に示した。

(2) 数昼夜観測資料

観測期間中同一地点で実施した1昼夜の反復観測資料は最小自乗法によつて8個 ($M_2, S_2, K_2, K_1, O_1, P_1, M_4, M_{S4}$) の潮流調和定数と恒流を算出し、それらを円の合成を行い、各分潮流の長軸方向 (D) 、流速 (V)

について $w = \frac{\sum Dv}{\sum v}$ (Σ は各分潮流の総和) を主方向としてこの方向に主軸を統一した各分潮流の補正調和定数を求めこれを表 1 に示した。ただし、主方向の決定には主要の 4 分潮流 (M2, S2, K1, O1) を採用した。

以上の計算処理及び次に述べる成果の諸計算は、海上保安庁水路部の電子計算機 (ACOS-77) を使用して行つた。

なお、電気流速計による資料については、流況図作成の際の流況矢符記入の補足資料とした。

4. 潮流の成果

(1) 恒流図

図 2 の恒流図は、表 1 ～ 2 の観測成果から観測期間中の各測点の恒流を図示したものである。

通常、潮流を 1 昼夜 (25 時間) にわたりて観測し、その平均値を恒流と考えると、恒流は潮流以外の原因のうちで外海からの海流の進入、局部的な環流等によって生ずる非周期性の一方向の流れといわれ、潮流が地形 (海底地形を含む) の影響で偏流するために生ずるものが多く考えられる。

また、恒流は図 5 の日変化にみられるように、実際は日によつて消長があり、潮流の勢力が弱い場合には風などの影

著で変化するので、昼夜観測のような短期間では詳細に述べられないが、おおよそ系統的な傾向をみることはできる。

期間中の分布状態をみると、湾外ではおおむね東～北東流の傾向を示すが海域の西方には沖合からの南下流があつて、沿岸域に張り出す流れが観測されている。

沖合の流れに対し湾内では右回りの流れとなつていて、流速は沖合では0.3 K μ 前後であるが、更に北方の対馬水道に向かうほど強くなる。

湾内では、中央域で0.1～0.2 K μ 、東・西の沿岸域では0.1 K μ 以下の弱い流れである。

これらの分布パターンは、北方の対馬水道に存在する対馬海流の分枝流の張り出し、あるいはその勢力に支配されて生ずる季節的な変動パターンと考えられるので、この図に示されたものは、この時期の一つのパターンとみなされる。

なお、矢符に付記してある数値（ノット）は、少数点以下2桁目まで記載してあるが、これは流速が全体的に小さいこの海域の恒流の流速の地域的特性を示すためであつて恒流の日変化並びに記録整理上の読み取り誤差等の観点からいえば各数値の2桁目は参考値程度のものである。

(2) 潮型と流速減衰比

海域の潮流のタイプとして、1日周潮流と $\frac{1}{2}$ 日周潮流との割合をとつてその分布を、図3の測点上（上段の欄）に示す。

これらの分布をみると、湾口を境に沖合では1/1.5と一定した分布を示し、混合潮流型となつてゐるのに対し、湾内では一様に1.2.7と1日周潮流型の分布をみせている。このことは、月齢による潮流変化に加え月の赤緯の大小による潮流変化がこの海域では、流況を大きく左右することを示しており、外海水と湾内水の流れの複雑さがみられる。

以上の潮型の分類基準としては、 $0.2.5 > \frac{M_1}{M_2} \approx 1/2$ を1日周潮流型、 $0.2.5 < \frac{M_1}{M_2} < 1.2.5$ を混合潮流型、 $1.2.5 < \frac{M_1}{M_2}$ を $\frac{1}{2}$ 日周潮流型として分類した。

図3の各測点の下段の値は、小潮期と対大潮期との流速減衰比について求めたもので、沖合では0.38と潮汐（唐津0.38）と類似した傾向を示しているが、湾内では全域で0.58と減衰比は沖合に比べて小さくなつてゐる。

(3) 潮時差図

図4は、唐津港の潮汐（高潮時）を基準として各海域で一方向（東～東北東流）の最強時との時間的な差を図示し

たもので、(+) の海域は唐津港の高潮後に、(-) の海域は高潮前にそれぞれ最強流速が現われることを示している。

これらの分布では、沖合から湾内にかけて1.0～2.5時間と順次潮時の遅れがみられるが、湾内の東・西両沿岸域及び小港湾内では2時間以上潮時が早くなっている。

(4) 四季の潮流・潮汐曲線

図6は、今回の観測海域における長崎観測点2箇所の潮流と、唐津港の潮汐の一般的な形態と両者の相互関係を知る参考として四季の大潮期（朔望のころ）及び小潮期（両弦のころ）について、平常における状態の曲線を示したもので、各曲線は年により多少異なることがある。

これらの曲線から、おおよそ次のようないくつかの関係が認められる。

イ 潮汐は規則正しい1日2回の高潮と2回の低潮が起こり、日潮不等（午前・午後の潮高の不等）は著しくないが、潮流は、月の赤緯の小さい春秋季の朔望期以外は、1日1回潮の潮流形態となり日潮不等が大きくなる。

ロ 湾外の潮流が最強となるのは、唐津港の潮汐が高潮又は低潮になる時刻より平均して約1時間30分遅れ、高潮時のころは、ほぼ東北東方へ、低潮時のころは、ほぼ

西南西方へ流れる。

ヘ 湾内の潮流が最強となるのは、湾外潮流の最強後約1時間である。

ニ 両弦期のころは、湾内外とも一様に一方向の流続時間が長い潮流となる。

ホ 最大流速は、夏冬季の朔望のころ現れ、東北東方へは夏季の午前と冬季の午後に、西南西方へは夏季の午後と冬季の午前にそれぞれ起こる。

なお、この図における春（秋）季とは、春（秋）分の前後を、夏（冬）季とは夏（冬）至の前後を指し、春季と秋季、夏季と冬季の潮流、潮汐はそれぞれ午前と午後に入れかわつたものとなるから春、夏季には上欄に記載した時刻を、秋、冬季には下欄に記載した時刻を使用する。

また、潮流曲線には恒流は含まれておらず、潮高曲線は平均水面を基準として描き、平均水面の季節変化は含まれていない。

(5) 大潮期の流況

1昼夜ごとに調和分解して得られた潮流成果は、それぞれの鏡面期日における値であるから、これらを同一条件（朔望期、月の赤緯最北時）に補正するため潮型が同じと考えられる近傍の潮流長期観測点（ここでは、湾内を測点A沖合を

測点 B) における調和定数を使用して補正計算を行つた。

図 7 1-12 の流況は、上記の潮流にその地点の恒流を合成して描いたもので、潮時の基準を唐津港の潮汐によつて 2 時間ごとの 1/2 葉の図で表してある。

ここで、潮流図は、通常大潮期の平均流（ほぼ、春秋大潮期の流況に等しい。）として表すが、当海域では $\frac{1}{2}$ 日周潮流に比べて 1 日周潮流が卓越することから、これらを加え更に $\frac{1}{4}$ 日周潮流及び恒流を合成して流況図を作成した。

したがつて、この図の流況は夏冬朔望期の流況に相当し大潮期の最大値を表している。

なお、夏冬朔望期ごろは月の赤緯が南北に最大となり、1 日周潮流が卓越して、午前・午後の流速には、かなりの不等が発生する。

5. 一般的な流況

唐津湾は、湾口を外海に広げた開放性の湾形であるうえ、奥行きが短かいことなど地形的な関係から湾内水の流動は、外海水の流動に敏感に対応するものと考えられる。

当海域の沖合では、唐津港の低潮約 5 時間後から高潮約 5 時間後までは、北東～東北東方へ流れ、ほぼ高潮 1 時間 30 分後に流速は最強となる。逆に、高潮 5 時間後から低潮 5

時間後までは南西～西南西方へと流れる。

湾内への流路は、沖合から湾口の西口、中央口、東口の3水路を経て南～南西流し湾奥へと向かう。湾内の流速が最強となるのは沖合流況の最強約1時間後である。

湾奥では、ほぼ陸岸に沿つて流れ沿岸域の各小港湾域に達している。流速は、湾口の北側から沖合にかけては大潮期の最強で0.7～1.5Kmと沖合に向かうほど増大し、湾口の南側から湾奥にかけては0.5～0.1Kmと次第に減少する。

湾口の3水路のうち、姫島～仮崎間（東口）、神集島～女瀬鼻間（西口）の東・西両水路では流速は遠く、東口で1Km前後、西口では1.3Kmに達する。

潮流拡円をみると、沖合ではほぼ東西に、前記の2水路では南北に、それぞれ偏平な形態を示しているが、湾内では、おおむね全域が円型な拡円形態を示している。

また、流向の経過時に伴う変化は、おおむね右回りであるが、湾内東側の引津、加布里、深江の各港湾及び西側の唐津港付近では左回りの流向変化となつている。

図7に描かれた流況は、主に海面下5メートル層（沿岸部の2点は2メートル）における平常時の流況であつて、湾内の流速は全般に弱いことから季節風の卓越する時期の流況（特に表層流）は、本図の流況と相違があるので図の

使用にあたつては注意する必要がある。

また、湾内では河川水の増水に伴う流況変化が予想されており、湾内南西部にある松浦川の河口付近ではかなり潮流周期の乱れた流れが観測されている。

4 あとがき

以上、今回観測した海域内 32箇所の観測成果について、沖合の一部海域及び湾内の流況について述べたが、当海域は外海から流入する海流成分の張り出し、あるいは強弱に伴つてかなり季節変動を起こし、潮流と合成された流れは、流向及び流続時間に不等を生じているが、沖合の潮流形態は、比較的定常的な要素がみられる。

このことは、潮流以外の諸要素を更に詳細に観測することによつて、この海域での流況予測の精度向上を計ることができるので、今後は底層流を含めた長期潮流観測を設けるとともに、海洋観測を併用して季節的な恒流（主に海流）変動を総合的に調査し、湾内外の詳細な流動機構のはづを更に進めしていく必要がある。

この報告が船舶の航行安全並びに環境保全等の基礎資料として多方面で利用され、諸問題解決の一助となれば幸いである。

終わりに当たり、この観測に終始協力していただいた測量
船乗組員及び唐津海上保安部の方々並びに沿岸の海事関係者
に感謝の意を表します。

図 1

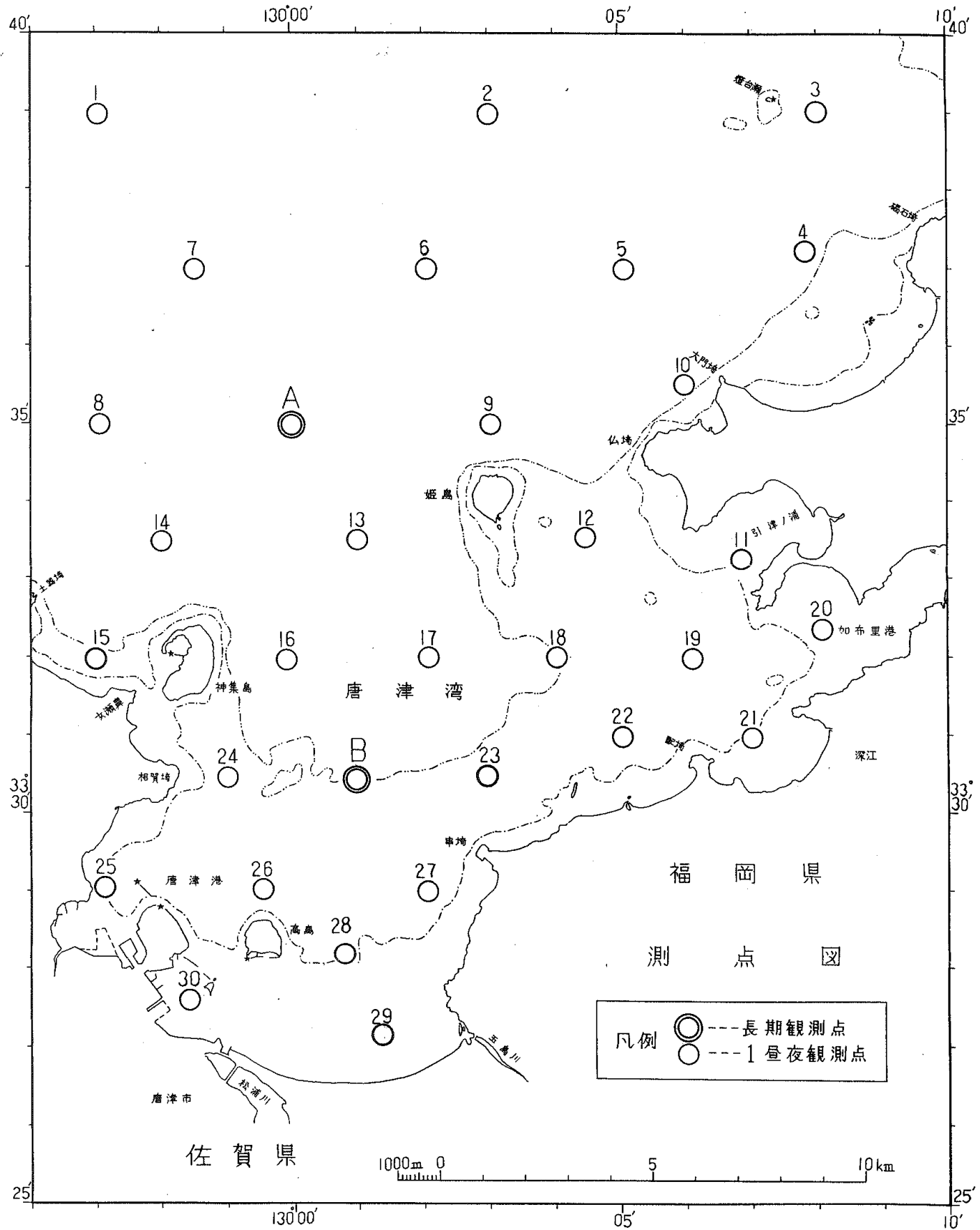


図2

恒流の分布

海面下5m

単位:ノット

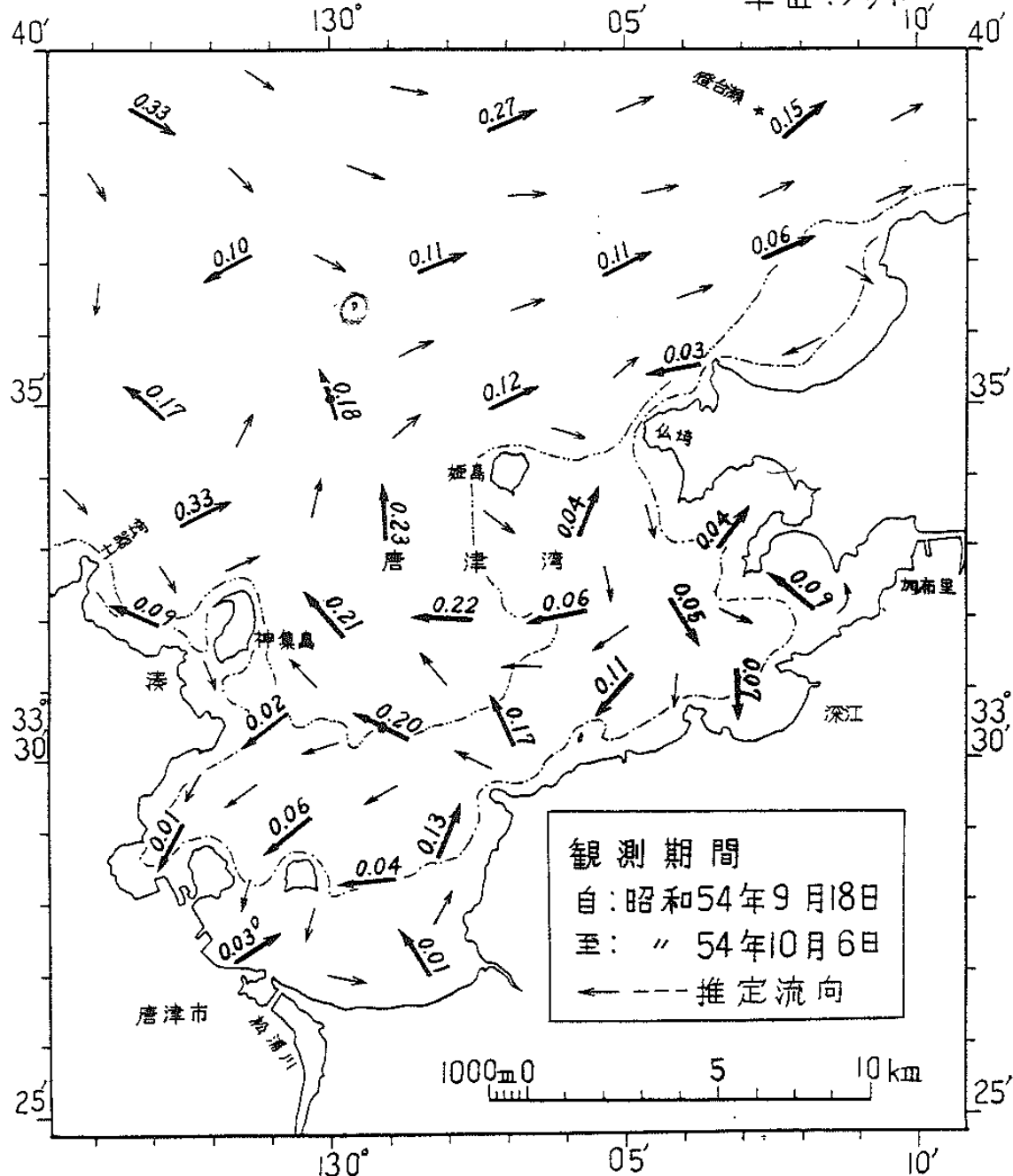


図3

潮型及び小潮期流速減衰比

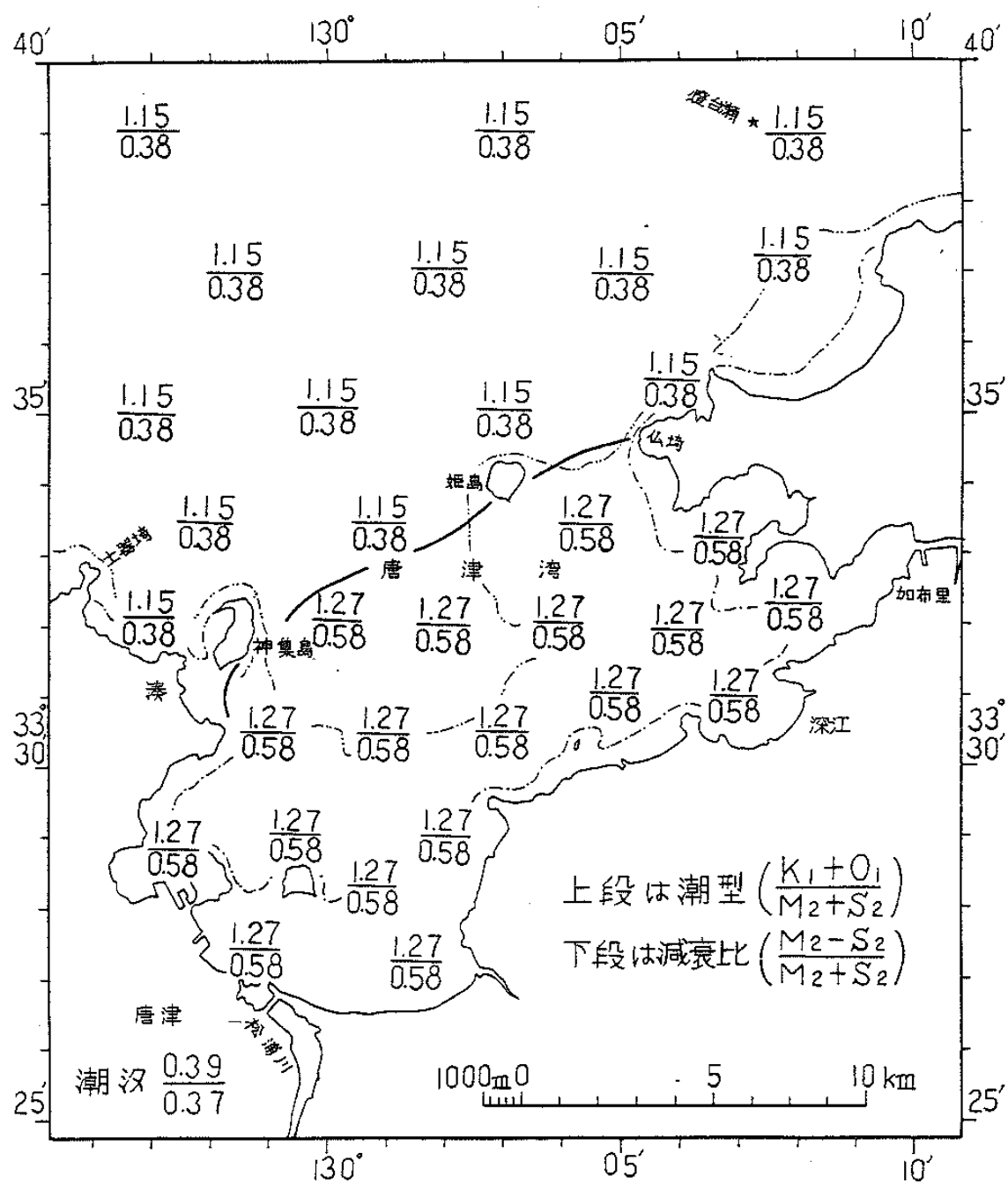


図4

潮時差図

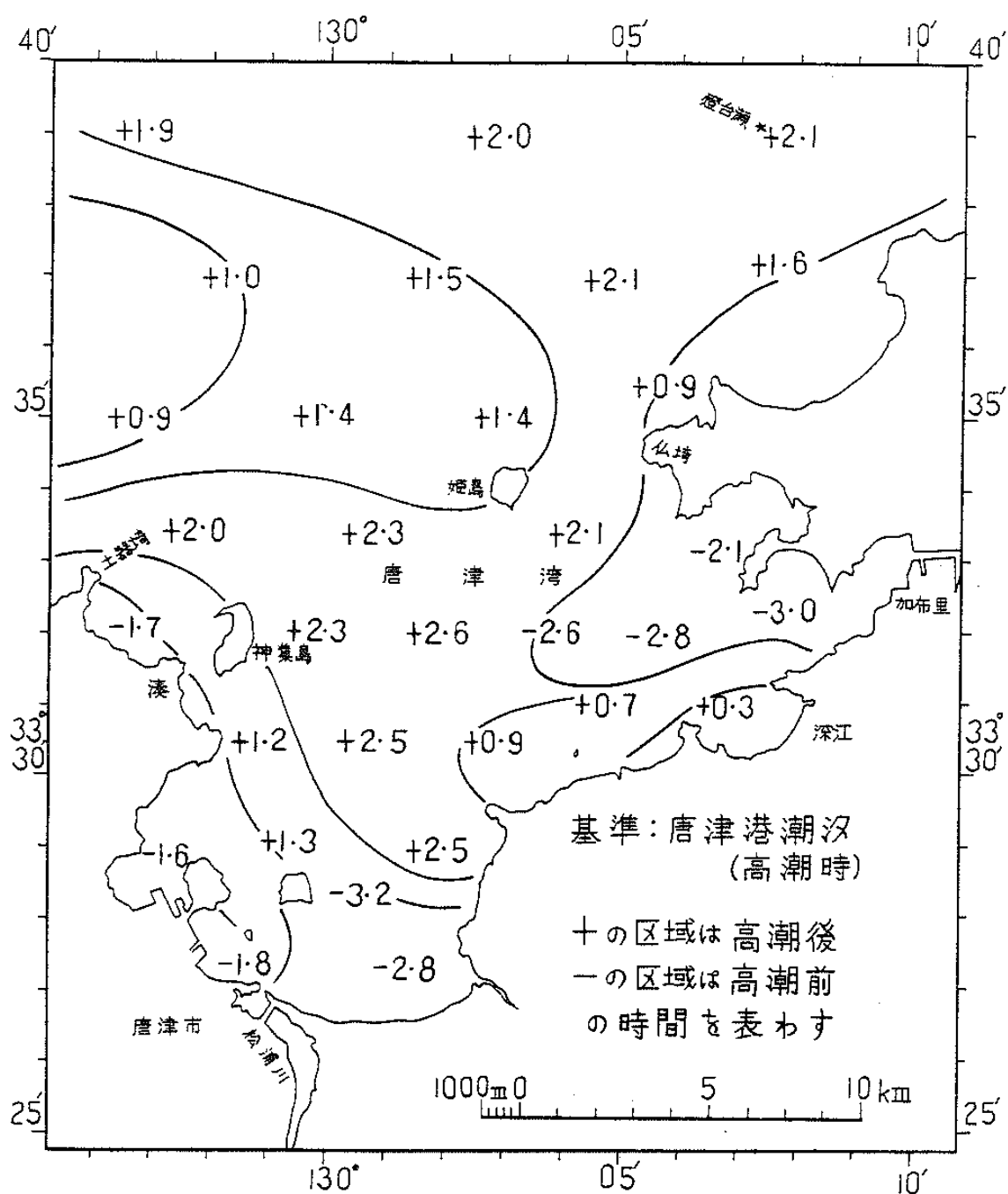


図5

恒流の日変化

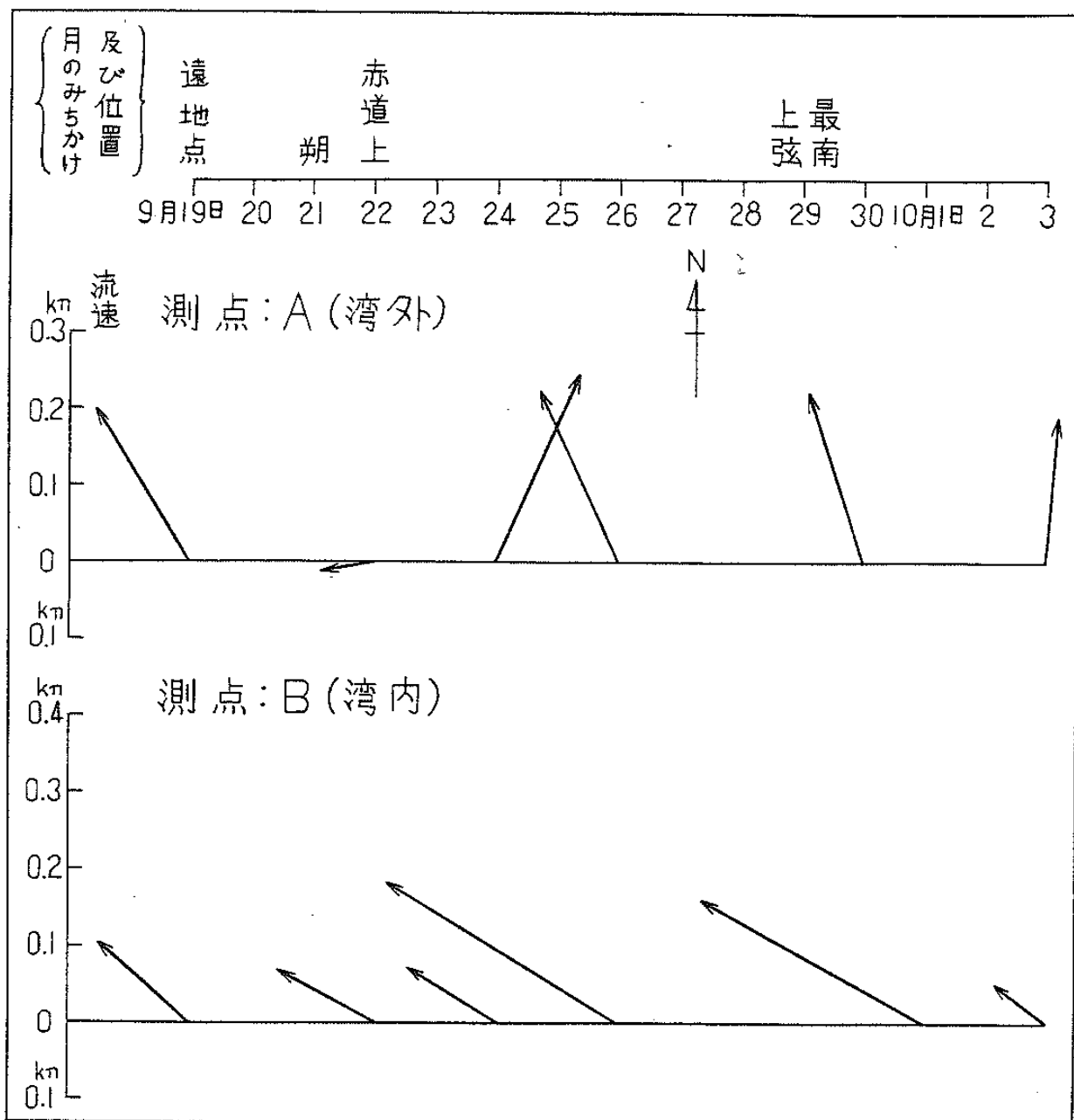
海面下5m
磁針方位

図 6-1 四季の潮流潮汐曲線

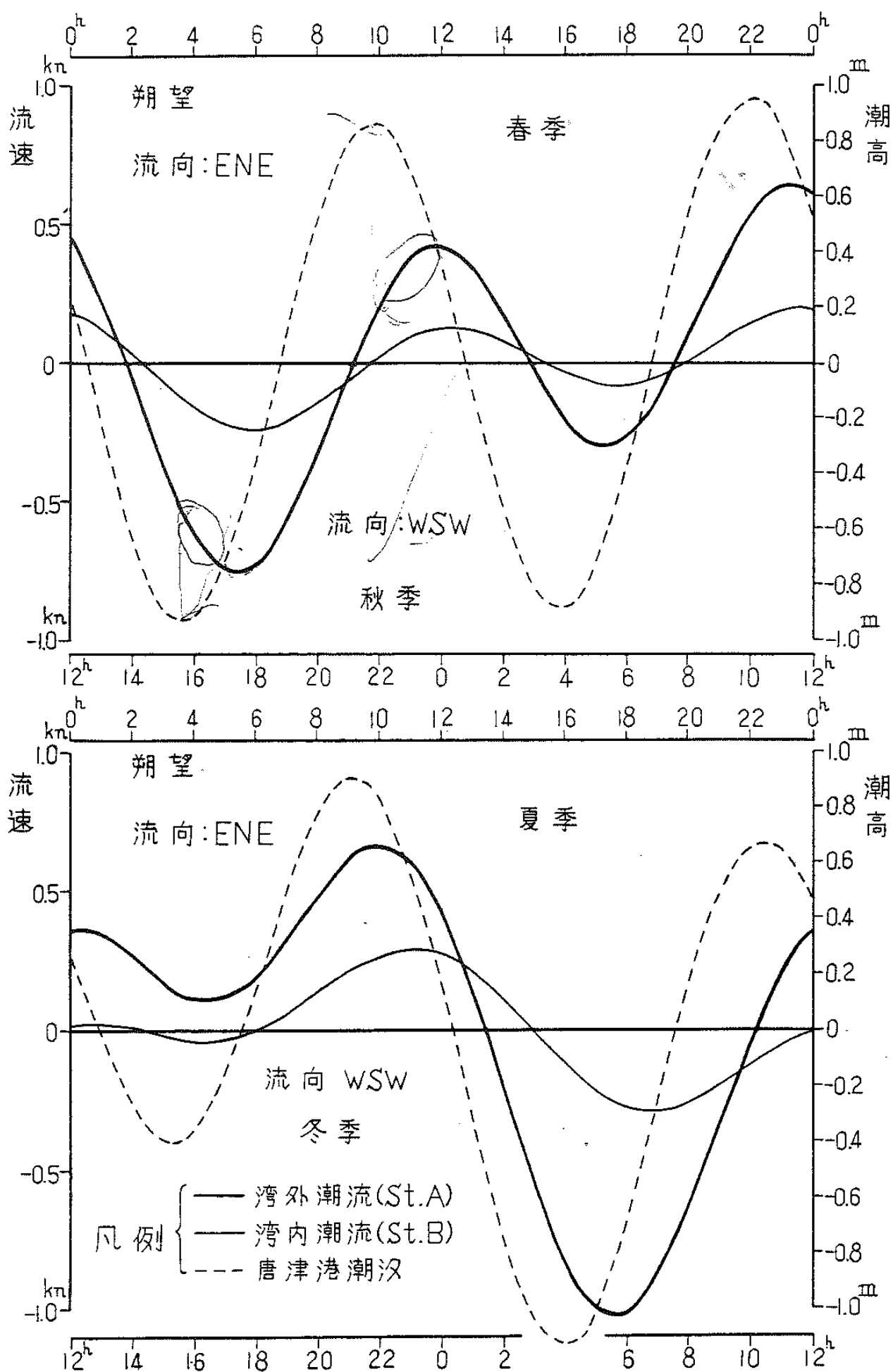
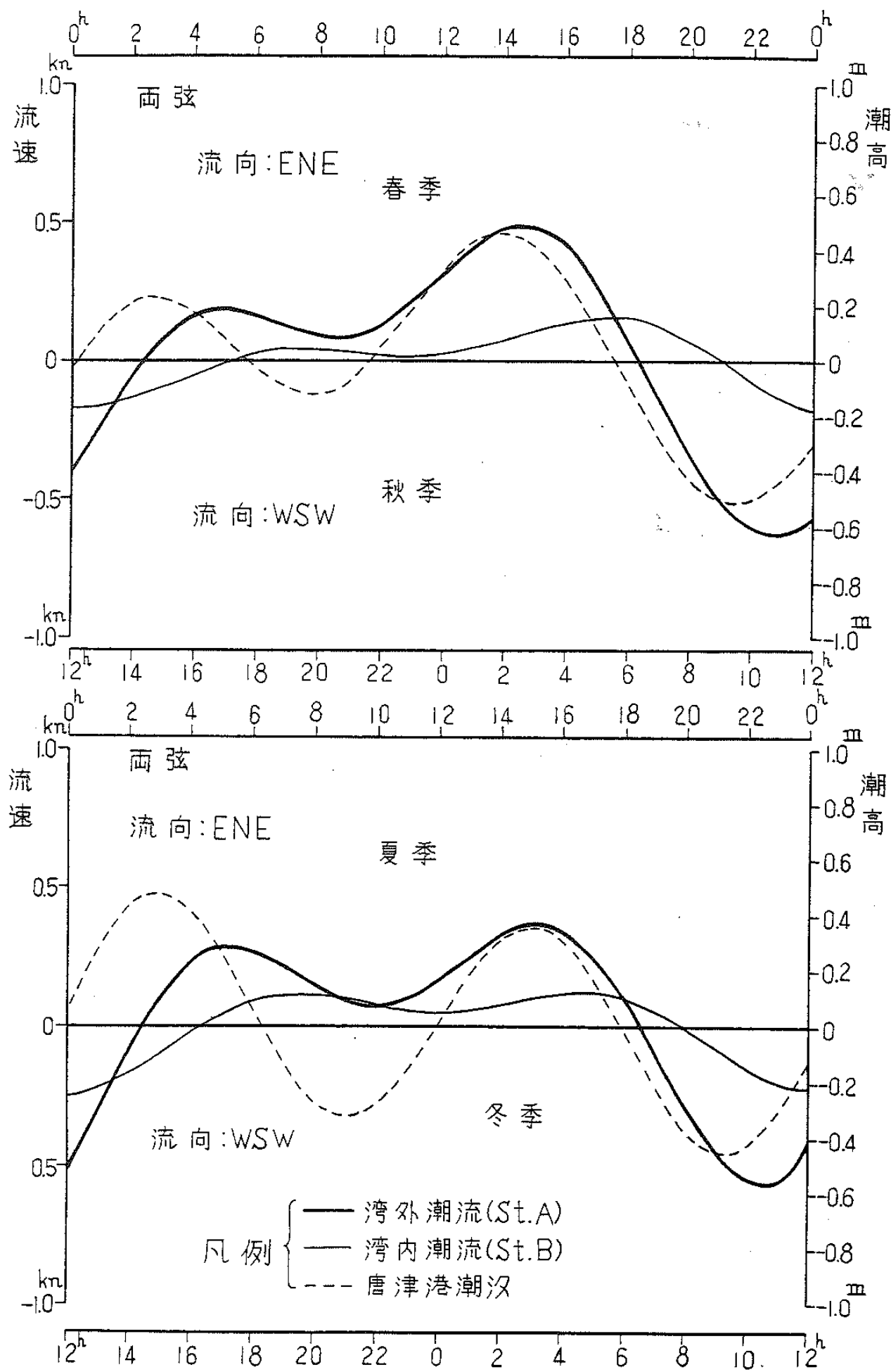


図 6-2

四季の潮流潮汐曲線



习题 7-1

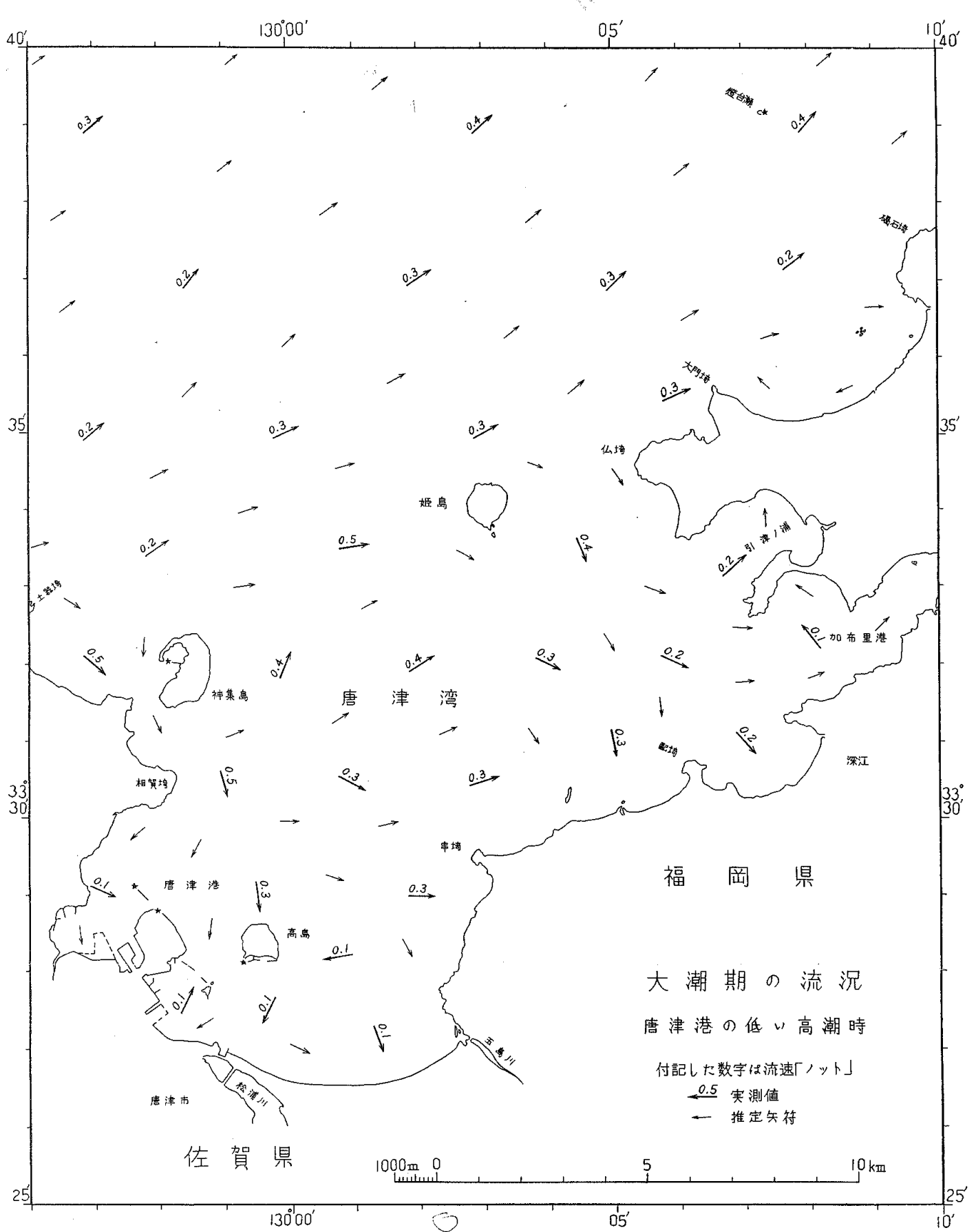


図 7-2



四 7-3



図 7-4



図 7-5



図 7-6



図 7-7

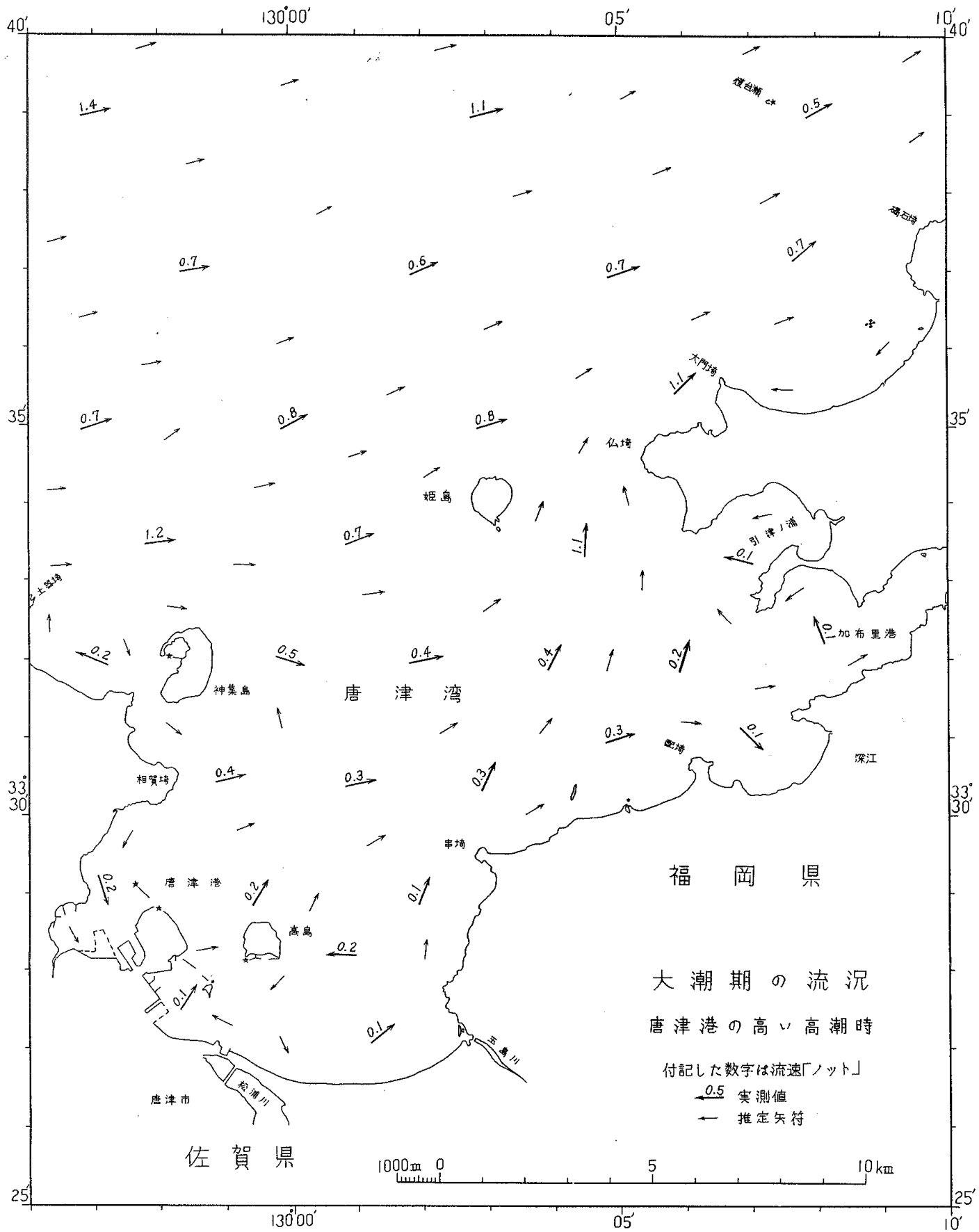


図 7-8

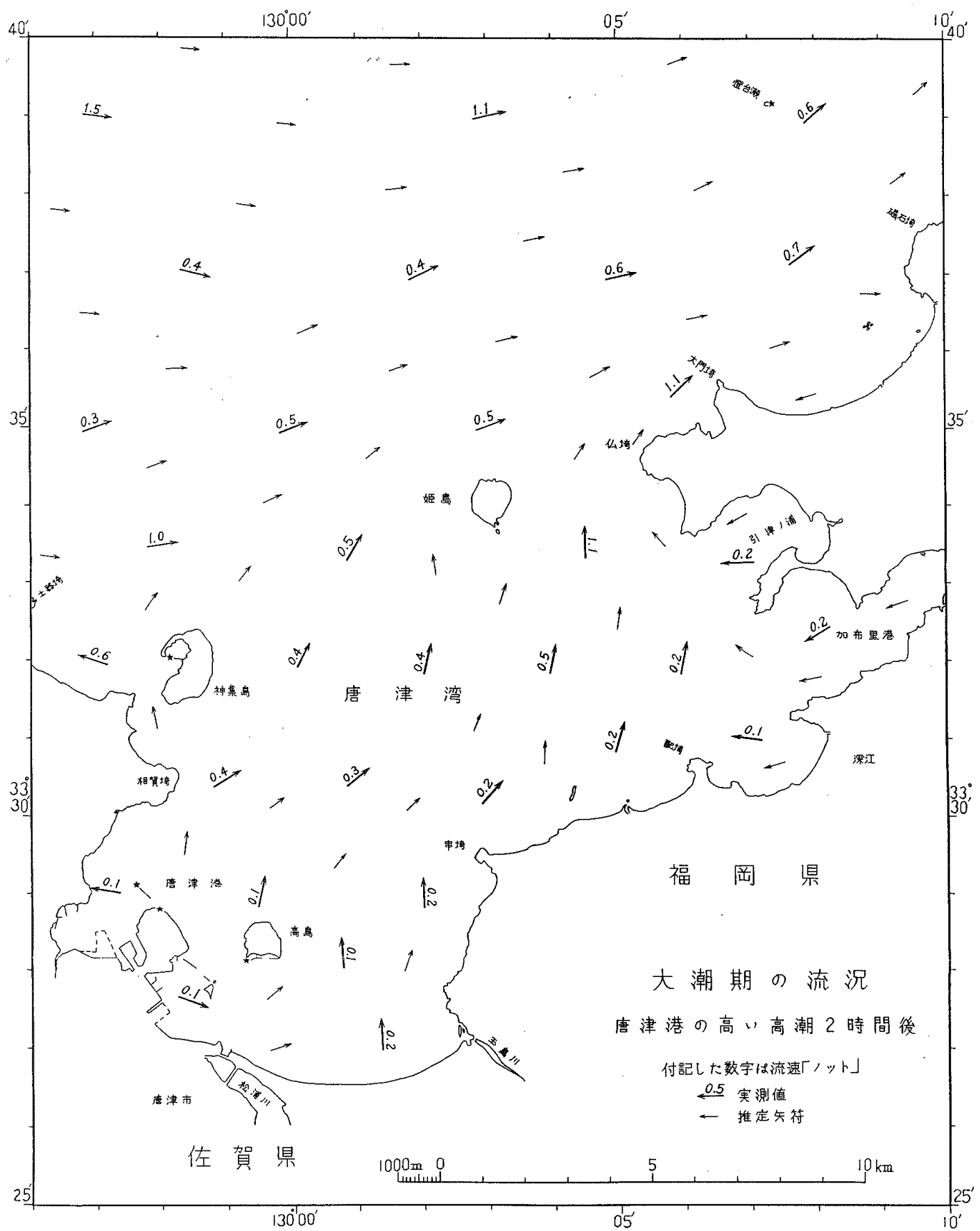


図 7-9

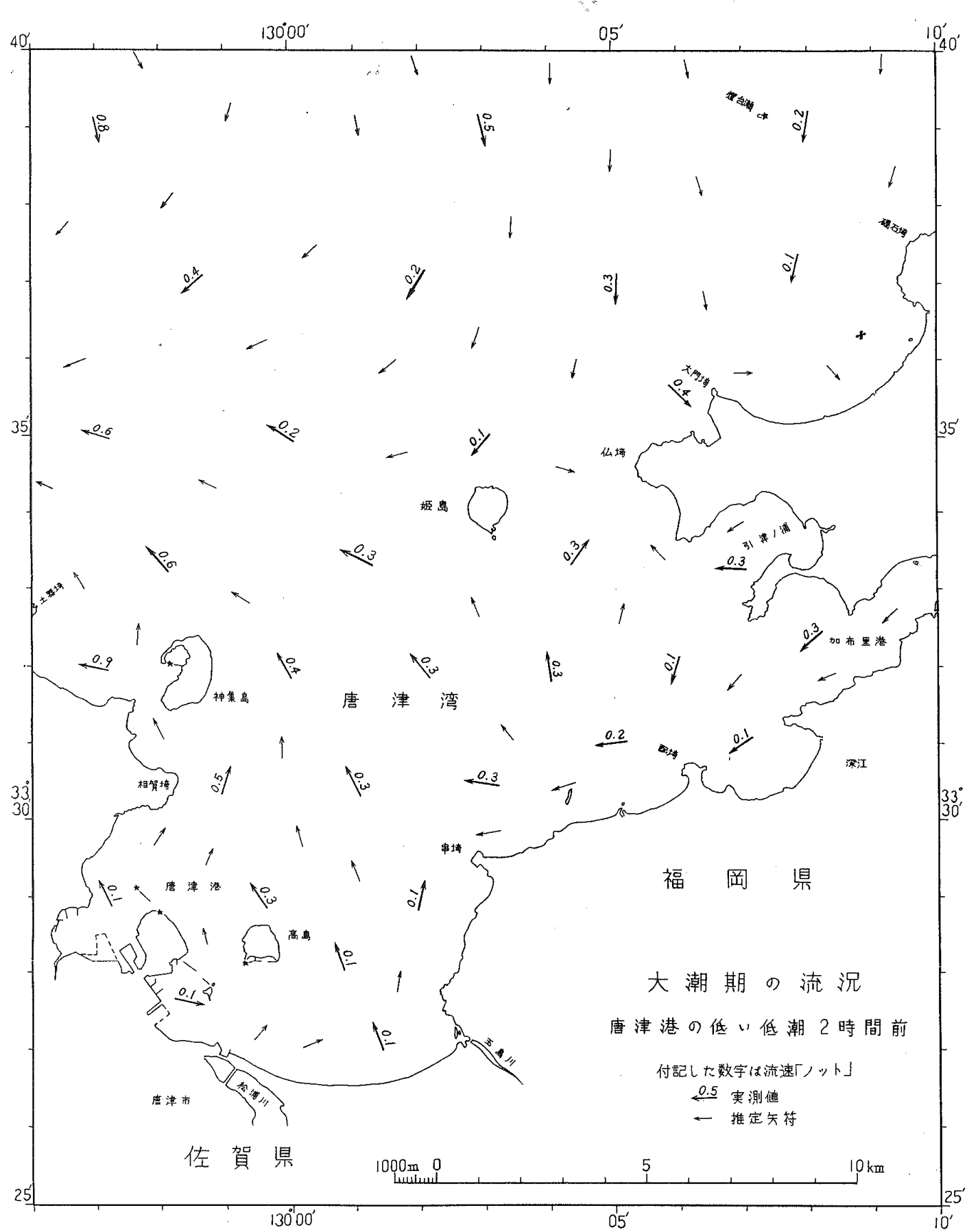


図 7-10

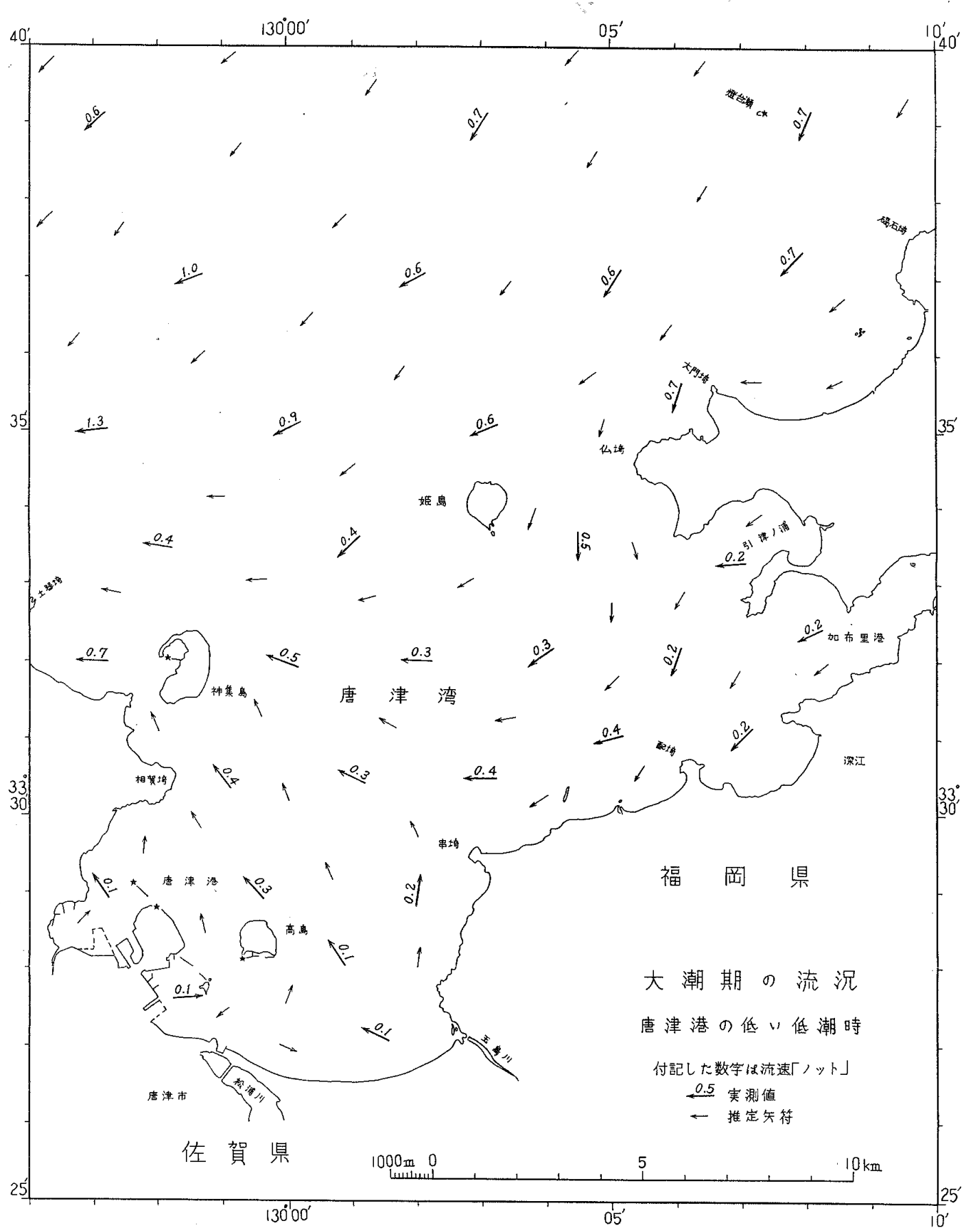


図 7-11

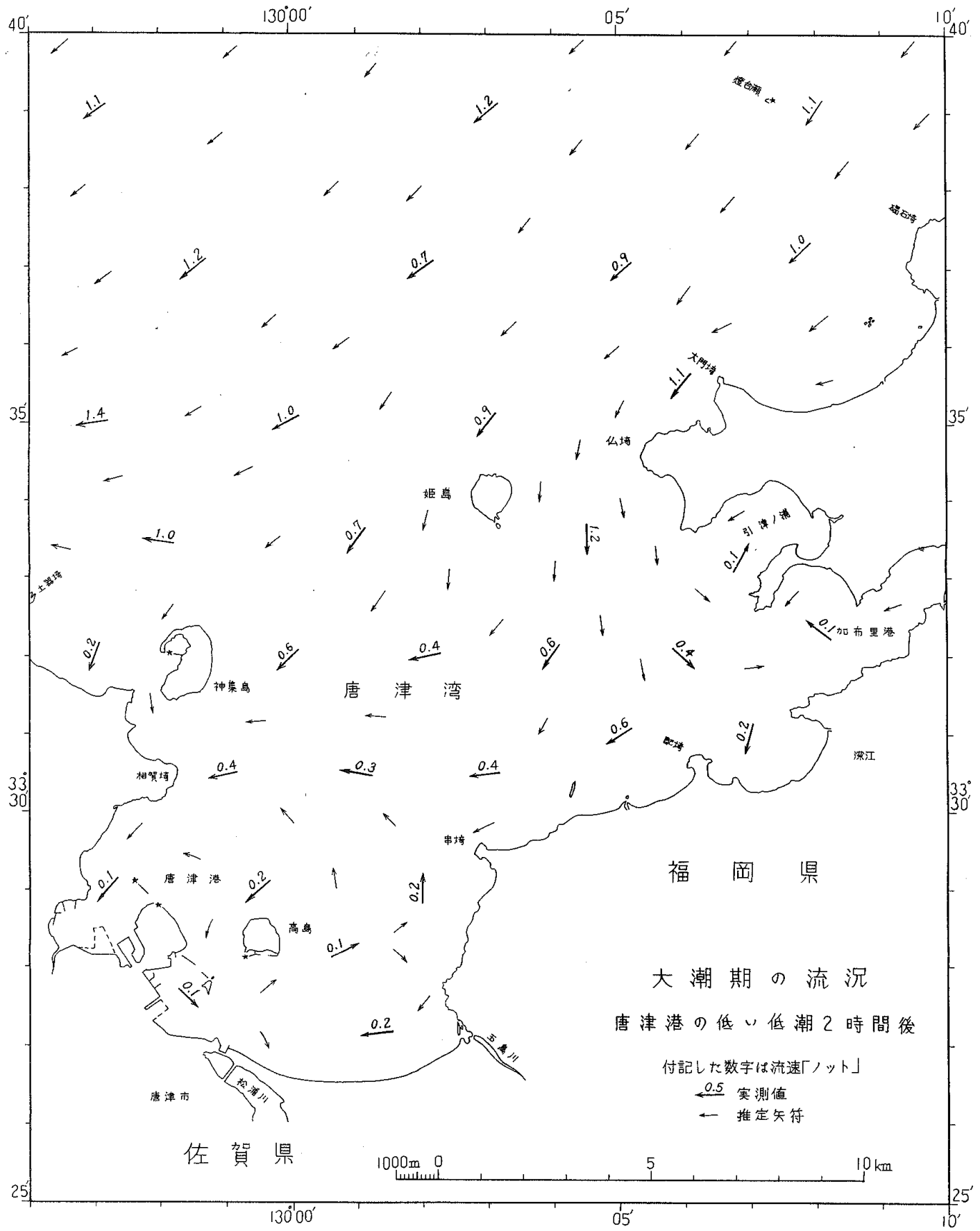


図 7-12



表 |

數量夜潮流調和分解成果

測点: A
資料番号: 480298
位置: {北緯33°35'00"
 東経130°00'00"

(1) 昭和54年9月19日~20日
(2) " 22日~23日
(3) " 24日~25日
(4) " 26日~27日
(5) " 30日~10月1日
(6) " 3日~4日

| 分速 | 潮 | S_0 | M_2 | S_2 | K_2 | K_1 | O_1 | P_1 | M_4 | MS_4 | 恒流 |
|----|-----|-------|----------|----------|----------|----------|----------|----------|----------|----------|--------------|
| 北 | 方 | V | 0.178 km | 0.092 km | 0.080 km | 0.022 km | 0.161 km | 0.019 km | 0.053 km | 0.017 km | 0.046 km 方向 |
| 分 | 速 | K | — | 323° | 26° | 302° | 159° | 302° | 114° | 88° | 347° |
| 東 | 方 | V | -0.040 | 0.333 | 0.139 | 0.038 | 0.255 | 0.296 | 0.085 | 0.018 | 0.028 流速 |
| 分 | 速 | K | — | 314 | 356 | 356 | 292 | 233 | 292 | 138 | 211 0.182 km |
| 主 | 方 | V | 0.017 | 0.345 | 0.154 | 0.042 | 0.292 | 0.284 | 0.097 | 0.022 | 0.022 |
| 向 | 72° | K | — | 315 | 1 | 1 | 294 | 231 | 294 | 132 | 179 |

(1) 昭和54年9月19日~20日
(2) " 22日~23日
(3) " 24日~25日
(4) " 26日~27日
(5) " 1日~2日
(6) " 3日~4日

測点: B
資料番号: 480299
位置: {北緯33°30'30"
 東経130°01'00"

(1) 昭和54年9月19日~20日
(2) " 22日~23日
(3) " 24日~25日
(4) " 26日~27日
(5) " 1日~2日
(6) " 3日~4日

| 分速 | 潮 | S_0 | M_2 | S_2 | K_2 | K_1 | O_1 | P_1 | M_4 | MS_4 | 恒流 |
|----|-----|-------|----------|----------|----------|----------|----------|----------|----------|----------|-------------|
| 北 | 方 | V | 0.105 km | 0.084 km | 0.043 km | 0.012 km | 0.028 km | 0.038 km | 0.009 km | 0.018 km | 0.011 km 方向 |
| 分 | 速 | K | — | 10° | 27° | 27° | 5° | 26° | 5° | 221° | 277° |
| 東 | 方 | V | -0.169 | 0.093 | 0.026 | 0.007 | 0.115 | 0.088 | 0.038 | 0.022 | 0.012 流速 |
| 分 | 速 | K | — | 338 | 302 | 302 | 327 | 250 | 327 | 229 | 8 0.199 km |
| 主 | 向 | V | -0.116 | 0.115 | 0.031 | 0.008 | 0.115 | 0.071 | 0.038 | 0.028 | 0.012 |
| 向 | 68° | K | — | 347 | 334 | 334 | 330 | 257 | 330 | 227 | 347 — |

表 2

昼夜潮流調和分解成果

——精円の長軸
S——精円の短軸

観測層：海面下5m(※印は海面下2m)
流向：磁針方位

| 測点番号 | 位置 | 観測日 | | 月齢 | | 1日周潮流 | | 1/2日周潮流 | | 1/4日周潮流 | | 恒流 | |
|------|-------------------------------|-------------|------|------|--------|-------|-----|---------|-------|---------|--------|------|------------|
| | | 太陰赤緯 | 軸 | 方向 | 流速 | 時間 | 方向 | 流速 | 時間 | 方向 | 流速 | 時間 | 方向 |
| 1 | 33°39'0"N 昭和64年9月20日~21日 | 28.4日~29.4日 | L | 280° | 0.28km | 8.6h | 70° | 0.67km | 11.7h | 5° | 0.13km | 0.6h | 117° 0.3km |
| 1 | 129 57.0 E N7°16' ~ N3°41' | S 10 | 0.06 | 14.6 | 16.0 | 0.08 | 2.7 | 9.5 | 0.01 | 2.1 | | | |
| 2 | 33 39.0 N 9月20日~21日 | 28.3~29.3 | L | 74 | 0.39 | 18.5 | 57 | 0.66 | 11.7 | 2.92 | 0.03 | 2.4 | 71 0.27 |
| 1 | 30 03.0 E N7°25' ~ N3°50' | S 16.4 | 0.16 | 0.5 | 14.7 | 0.01 | 2.7 | 2.2 | 0.01 | 0.9 | | | |
| 3 | 33 39.0 N 9月20日~21日 | 28.3~29.3 | L | 45 | 0.21 | 17.1 | 39 | 0.54 | 11.8 | 3.06 | 0.05 | 1.0 | 37 0.15 |
| 3 | 130 08.0 E N7°34' ~ N4°00' | S 13.5 | 0.06 | 23.1 | 12.9 | 0.03 | 2.8 | 3.6 | 0.01 | 2.5 | | | |
| 4 | 33 37.2 N 9月21日~22日 | 29.4~0.7 | L | 52 | 0.14 | 18.0 | 55 | 0.48 | 11.2 | 6.6 | 0.05 | 5.7 | 85 0.06 |
| 4 | 130 07.9 E N3°41' ~ S0°04' | S 14.2 | 0.00 | 0.0 | 14.5 | 0.05 | 2.2 | 15.6 | 0.01 | 1.2 | | | |
| 5 | 33 37.0 N 9月20日~21日 | 28.3~29.3 | L | 65 | 0.34 | 17.8 | 52 | 0.44 | 11.8 | 31.7 | 0.04 | 3.2 | 76 0.11 |
| 5 | 130 05.1 E N7°34' ~ N4°00' | S 15.5 | 0.15 | 23.8 | 14.2 | 0.01 | 2.8 | 4.7 | 0.01 | 1.7 | | | |
| 6 | 33 37.0 N 9月21日~22日 | 29.5~0.7 | L | 63 | 0.17 | 17.6 | 64 | 0.39 | 11.2 | 3.2 | 0.04 | 3.1 | 67 0.11 |
| 6 | 130 02.0 E N3°23' ~ S0°23' | S 15.3 | 0.02 | 23.6 | 15.4 | 0.10 | 8.2 | 1.22 | 0.01 | 1.6 | | | |
| 7 | 33 37.0 N 9月21日~22日 | 29.5~0.8 | L | 78 | 0.26 | 18.2 | 77 | 0.54 | 10.7 | 2.77 | 0.05 | 3.1 | |
| 7 | 129 58.5 E N3°13' ~ S0°32' | S 16.8 | 0.14 | 0.2 | 16.7 | 0.03 | 1.7 | 7 | 0.02 | 1.6 | | | |
| 8 | 33 35.0 N 9月22日~23日 | 0.8~1.8 | L | 25 | 0.16 | 19.7 | 8.6 | 0.65 | 10.4 | 1.5 | 0.14 | 4.7 | 313 0.17 |
| 8 | 129 57.0 E S0°42' ~ S4°28' | S 11.5 | 0.02 | 13.7 | 17.6 | 0.01 | 1.4 | 1.05 | 0.09 | 0.2 | | | |
| 9 | 33 35.0 N 9月21日~22日 | 29.4~0.7 | L | 73 | 0.10 | 18.7 | 70 | 0.45 | 11.0 | 2.82 | 0.07 | 2.8 | 50 0.12 |
| 9 | 130 03.0 E N3°32' ~ S0°13' | S 16.3 | 0.03 | 0.7 | 16.0 | 0.06 | 8.0 | 1.2 | 0.01 | 4.3 | | | |

| 測点番号 | 位置 | 観測日 | | 月齢 | 潮曲 | 1日周潮流 | | 1/2日周潮流 | | 1/4日周潮流 | | 恒流 | 流向 |
|------|-----------------------------|-----------------------|------------|----|-------------|-----------|------------|---------|------------|---------|-----|------|--------|
| | | 太陰赤緯 | 方位 | | | 流向 | 時間 | 方向 | 流向 | 時間 | 方向 | | |
| 10 | 33° 35'5" N 130° 06.0" E | 昭和54年 9月22日～23日 | 0.7日～1.7日 | L | 68° 0° 24km | 2.3h | 53° 0.69km | 0.4h | 277° 0.1km | 4.7h | 0.7 | 268° | 0.03km |
| 11 | 33° 33.3" N 130° 06.9" E | " 10月3日～4日 | 11.7～12.7 | L | 88° 0.06 | 0.0 | 76° 0.13 | 1.4 | 7° 0.05 | 0.7 | 0.7 | | |
| 12 | 33° 33.5" N 130° 04.5" E | " 9月23日～24日 | 1.9～2.9 | L | 69° 0.07 | 1.88 | 5° 0.54 | 4.5 | 95° 0.01 | 1.2 | 27 | 0.04 | |
| 13 | 33° 33.5" N 130° 01.0" E | " 9月22日～23日 | 0.8～1.8 | L | 33° 0.09 | 20.6 | 57° 0.48 | 11.9 | 40° 0.09 | 3.0 | 0 | 0.23 | |
| 14 | 33° 33.5" N 129° 58.0" E | " 9月23日～24日 | 1.9～2.9 | L | 277° 0.13 | 10.9 | 279° 0.59 | 5.3 | 69° 0.12 | 1.9 | 64 | 0.33 | |
| 15 | 33° 32.0" N 129° 57.0" E | " 9月25日～26日 | 3.6～4.6 | L | 298° 0.17 | 9.7 | 298° 0.40 | 1.4 | 65° 0.06 | 1.4 | 287 | 0.09 | |
| 16 | 33° 32.0" N 130° 00.0" E | " 9月23日～24日 | 1.9～2.9 | L | 330° 0.27 | 9.7 | 297° 0.28 | 3.6 | 339° 0.07 | 3.2 | 330 | 0.21 | |
| 17 | 33° 32.0" N 130° 02.0" E | " 9月22日～23日 | 0.8～1.8 | L | 75° 0.28 | 7.9 | 27° 0.23 | 12.0 | 350° 0.08 | 3.4 | 277 | 0.22 | |
| 18 | 33° 32.0" N 130° 04.0" E | " 9月23日～24日 | 1.9～2.9 | L | 56° 0.13 | 20.9 | 330° 0.21 | 0.6 | 67° 0.06 | 1.1 | 265 | 0.06 | |
| 19 | 33° 32.0" N 130° 06.0" E | " 10月2日～3日 | 10.6～11.6 | L | 351° 0.09 | 6.4 | 307° 0.11 | 1.1 | 83° 0.04 | 3.4 | 158 | 0.05 | |
| 20 | 33° 32.4" N 130° 08.1" E | S 14° 14'～S 10° 44' | S 81° 0.01 | L | 124° | 37 | 0.08 | 10.1 | 173° 0.03 | 4.9 | | | |
| 21 | 33° 31.0" N 130° 07.0" E | " 10月3日～4日 | 11.8～12.8 | L | 49° 0.07 | 2.8 | 43° 0.13 | 6.6 | 22° 0.02 | 2.2 | 328 | 0.09 | |
| | | " 10月2日～3日 | 10.7～11.7 | L | 297° 0.05 | 11.3 | 73° 0.04 | 10.1 | 276° 0.03 | 2.2 | 177 | 0.07 | |
| | | " S 10° 12'～S 10° 34' | S 27° 0.03 | S | 5.3 | 163° 0.04 | 7.1 | 6° 0.01 | 0.7 | | | | |

| 測点番号 | 位置 | 観測日 | | | 月齢 | 軸 | 1日周潮流 | | | 1/2日周潮流 | | | 1/4日周潮流 | | | 恒流 | |
|------|---------------------------|-------------------|-------------|----|-------------|------|-------------|-------|-------|---------|------|------|---------|----|------|----|----|
| | | 太陰赤緯 | 方向 | 流速 | | | 太陽赤緯 | 方向 | 流速 | 時間 | 太陽赤緯 | 方向 | 流速 | 時間 | 太陽赤緯 | 方向 | 流速 |
| 22 | 33° 31'0 N 130° 05.0 E | 昭和54年 10月3日～4日 | 11.8日～12.8日 | L | 18° 00.7 km | 7.6h | 89° 0.19 km | 10.2h | 84 km | 0.09 km | 3.8h | 240° | 0.1 km | | | | |
| 23 | 33° 30.5 N 130° 03.0 E | 9月25日～26日 | 3.7～4.7 | L | 4.8 | 0.18 | 4.0 | 8.3 | 0.29 | 9.9 | 2.90 | 0.09 | 0.3 | | | | |
| 24 | 33° 30.5 N 129° 59.0 E | 9月25日～26日 | 3.7～4.7 | S | 138 | 0.10 | 22.0 | 173 | 0.07 | 6.9 | 2.0 | 0.04 | 1.8 | | | | |
| 25 | 33° 29.1 N 129° 57.2 E | 10月4日～5日 | 12.6～13.6 | L | 1.5 | 0.14 | 10.5 | 304 | 0.24 | 4.2 | 3.08 | 0.05 | 5.7 | | | | |
| 26 | 33° 29.0 N 129° 59.5 E | 10月2日～3日 | 10.7～11.7 | L | 317 | 0.11 | 13.4 | 43 | 0.16 | 2.1 | 3.8 | 0.02 | 1.2 | | | | |
| 27 | 33° 29.0 N 130° 02.0 E | 10月2日～3日 | 10.7～11.7 | S | 14 | 0.01 | 20.4 | 86 | 0.02 | 10.8 | 5.0 | 0.01 | 3.2 | | | | |
| 28 | 33° 28.2 N 130° 00.8 E | 10月3日～4日 | 11.8～12.8 | L | 76 | 0.16 | 20.3 | 18 | 0.06 | 0.2 | 3.0 | 0.04 | 3.7 | | | | |
| 29 | 33° 27.2 N 130° 01.3 E | 10月4日～5日 | 12.9～13.9 | S | 160 | 0.01 | 2.3 | 108 | 0.02 | 9.2 | 1.20 | 0.02 | 5.2 | | | | |
| 30 | 33° 27.6 N 129° 58.4 E | 10月4日～5日 | 12.9～13.9 | S | 2 | 0.03 | 10.3 | 96 | 0.05 | 9.5 | 1.44 | 0.01 | 5.1 | | | | |
| | | | | S | 179 | 0.02 | 10.5 | 129 | 0.01 | 2.0 | 1.14 | 0.00 | 4.6 | | | | |